

Séminaire IMPEC – CEA Saclay le 17 octobre 2006

Incertitudes et surfaces de réponses :
premières expérimentations sur la robustesse
quantiles E. de Rocquigny (EDF R&D), Y. Barhoumi, L.
 Carraro (EMSE)



Sommaire

- › Incertitudes et SR : exemples EDF et approche globale
 - › Quelques exemples de dossiers
 - › D'où le schéma global et les grandes étapes
 - › Plusieurs contextes d'utilisation des PE/SR/AS selon la finalité
 - › Une exigence récente : robustesse de la prédiction à base de SR dans un calcul de risque

- › Premières pistes pour réduire la variance de l'estimateur en combinant Wilks et une SR
 - › Réduction par formulation asymptotique sous indépendance
 - › Addition de quantile sous inégalité forte

- › Approfondissements à venir

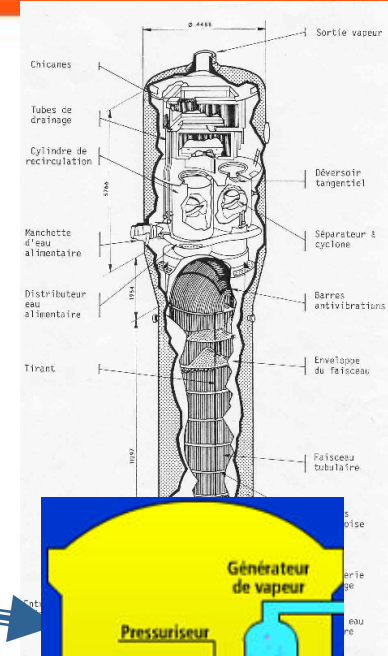
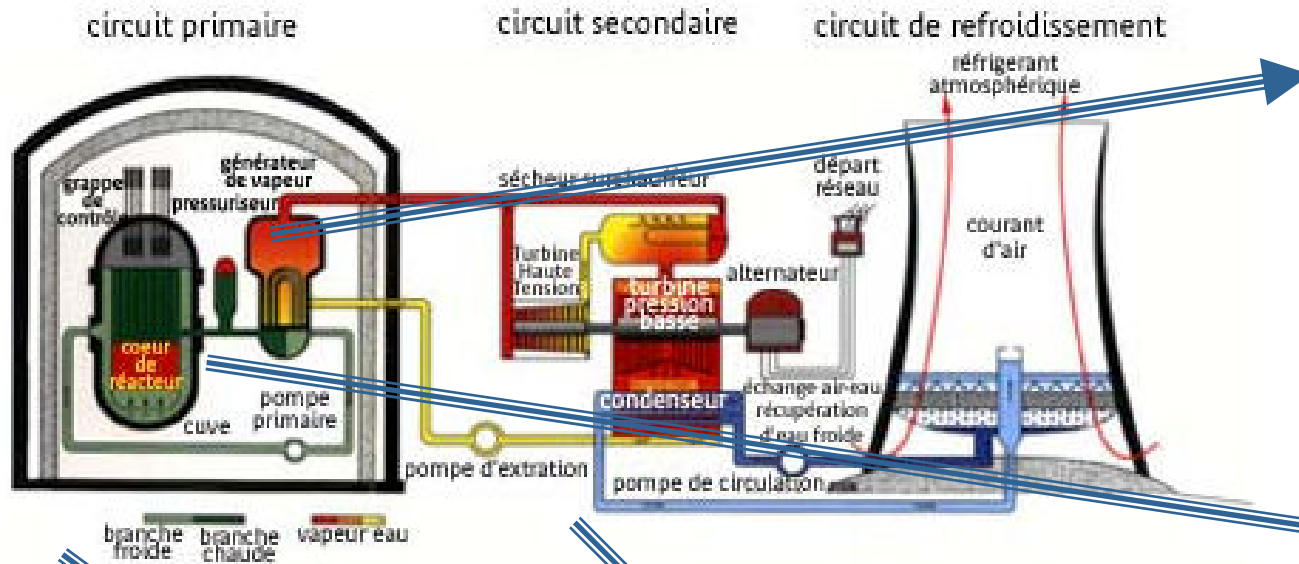
Exemples

Enjeu principal	Exemple	Domaine
Justification environnementale	Maîtrise des émissions industrielles (e.g. émissions atmosphériques)	Métrologie
	Impact des rejets aqueux sur l'environnement et la santé	Physico-chimie et Ecotoxicologie
Justification sûreté	Sûreté du réacteur nucléaire – thermohydrau./mécanique	Sûreté d'un procédé – physique probabiliste
	Protection contre les crues	Dimensionnement d'une protection
Hiérarchisation / priorités R&D	Analyse de risque système – études proba. de sûreté (E.P.S.)	Fiabilité des systèmes

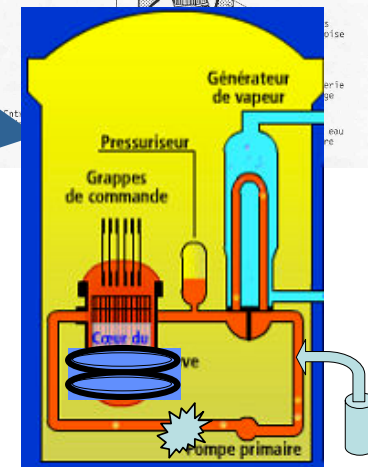
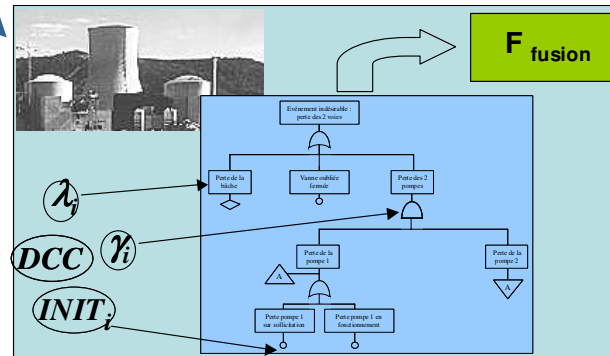
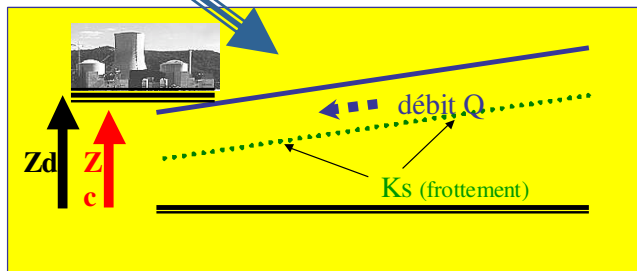
Thermique	Nucléaire	Renouvelable / hydraulique
-----------	-----------	----------------------------



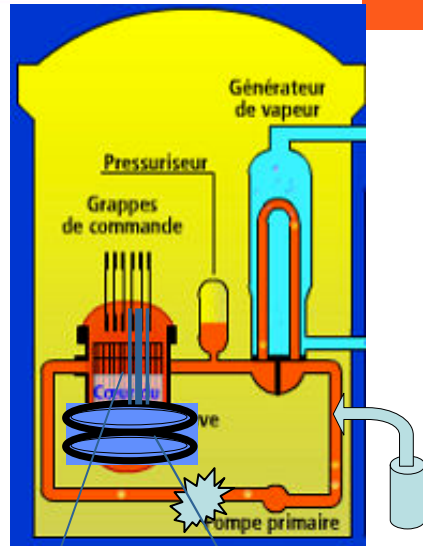
Exemples nucléaires



Schema de fonctionnement d'un Réacteur à Eau sous Pression (REP)

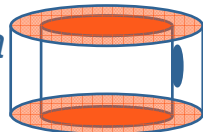


Sûreté du réacteur / thermo-hydraulique et mécanique cuve



Gaine de crayon combustible

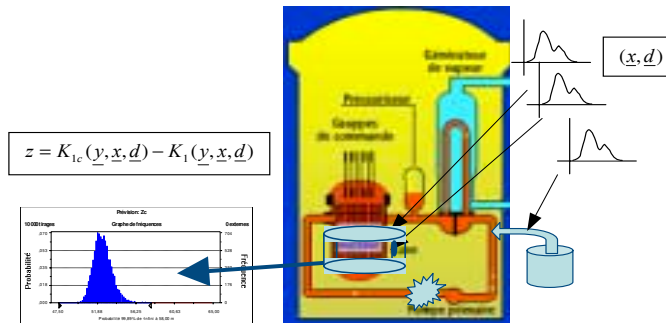
Épaisseur de la cuve



<u>Finalité</u>	Justifier la sûreté du réacteur / accidents conventionnels
<u>Critère</u>	<p>Z= température gaine, rupture cuve ...</p> <p>>> aujourd'hui marges déterministes</p> $T_{/accident} < T_{max\ gaine} \quad (K_{1c} - K_{cp})_{pénalisées} > 0$ <p>>> demain peut-être proba. / seuil</p> $P(T_{/accident} < T_{max\ gaine}) > 95\%$ $P[(K_{1c} - K_{cp}) > 0] < 10^{-x}$
<u>Sources/modèle</u>	<p>Variabilité des conditions de fonctionnement ; propriétés matériaux ; taille de défauts ; incertitudes sur coefficients thermohydrauliques etc.</p> <p>Modèles thermohydrauliques et mécaniques complexes (transitoires, éléments finis, ...)</p>

Sûreté du réacteur / thermo-hydraulique et mécanique

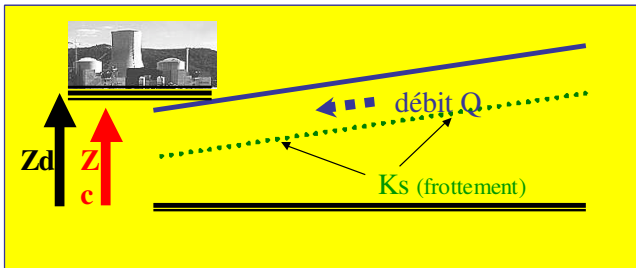
cuve



Critère	Dépassement de seuil
<u>Quantification sources</u>	Statistiques sur essais matériaux >> lois non gaussiennes <i>Méthodes inverses proba.</i>
<u>Méthode calcul</u>	(si déterministe : un seul calcul) Si proba : >> calculs Form-Sorm en mécanique (proba. très faibles – physique régulière) >> Monte-Carlo ou méthodes très robustes en thermo-hydraulique (proba. moins faibles – physique irrégulière)

- ↳ **Enjeu d'évolution réglementaire > proba./déterministe**
- ↳ **Travaux majeurs sur les données/ sources d'incertitudes**
- ↳ **Méthodes de propagation sophistiquées : modèles physiques lourds et proba. rares**

Protection des sites / crues

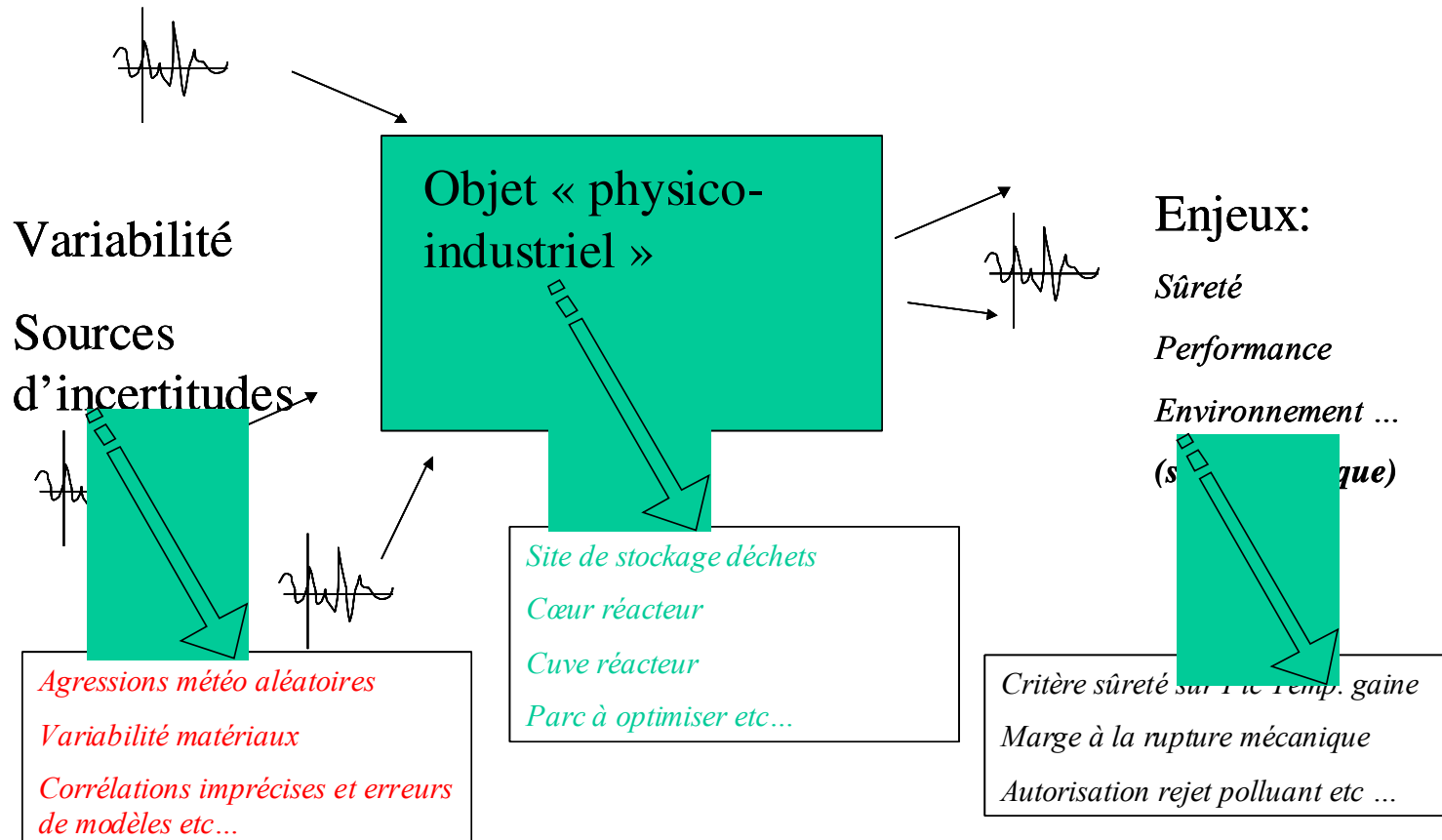


<u>Finalité</u>	Justifier niveau de protection réglementé sur risque inondation
<u>Critère</u>	<p>>> aujourd'hui critère physique déterministe sur aléa probabiliste</p> $Z_c(\hat{Q}^{1000}_{pén.}) < Z_d$ <p>>> demain ?</p>
<u>Sources/modèle</u>	<p>Aléa du débit de crue – incertitudes d'estimation de cet aléa – conditions d'écoulement variables / mal connues</p> <p>Modèles hydrodynamiques 1D ou 2D</p>
<u>Quantification / propagation</u>	<p>Stat. extrêmes sur débit</p> <p>Calculs déterministes avec sensibilités</p>

↪ **La réglementation reste encore semi-déterministe**

↪ **Des marges importantes se cumulent**

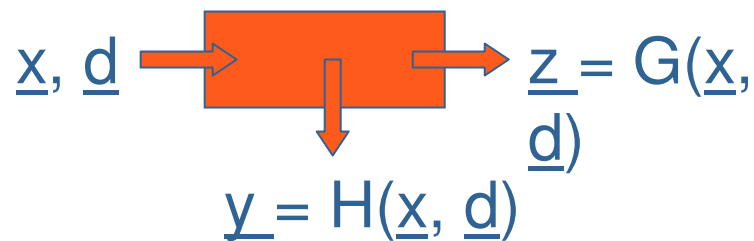
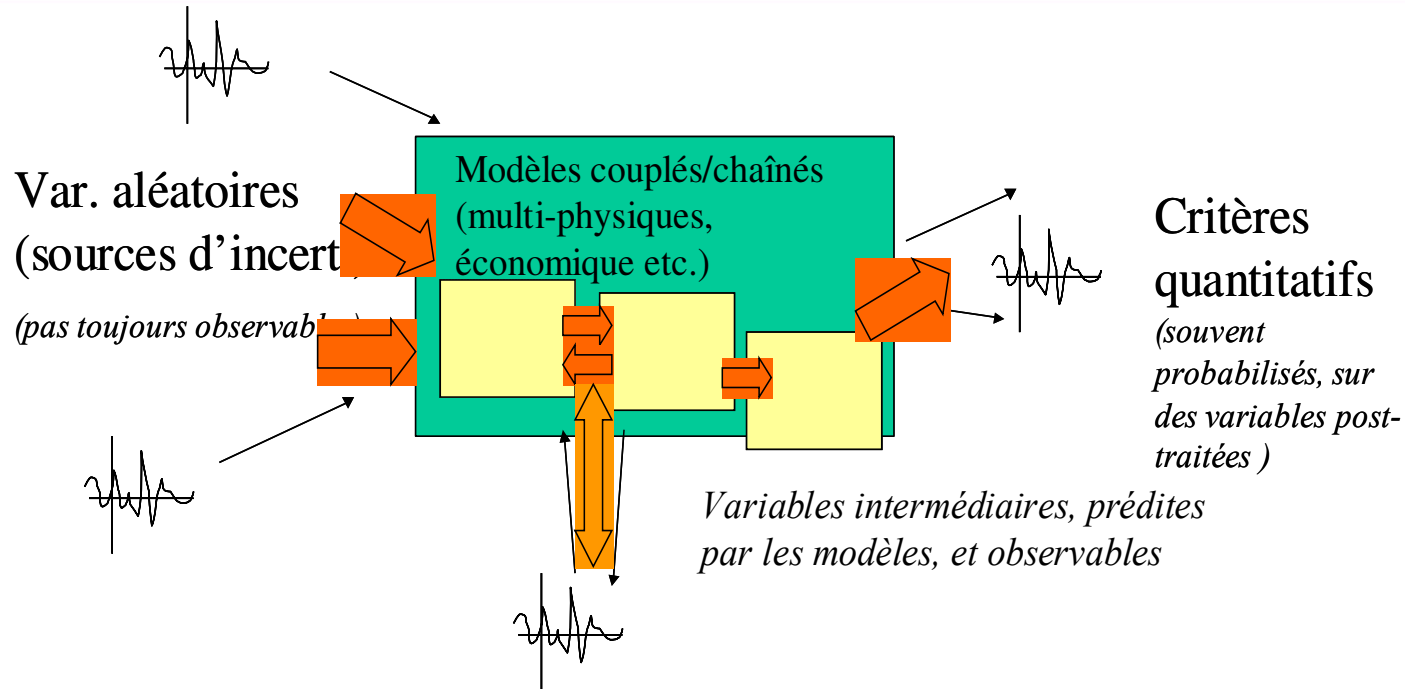
Présentation du contexte général « Incertitudes »



›Maîtrise des marges >> calculs d'incertitudes sur les grands codes physiques (et plus rarement sur de l'expérimental)

• *traditionnellement des marges déterministes « au jugement de l'ingénieur »*

Cadre de modélisation (physico-probabiliste)

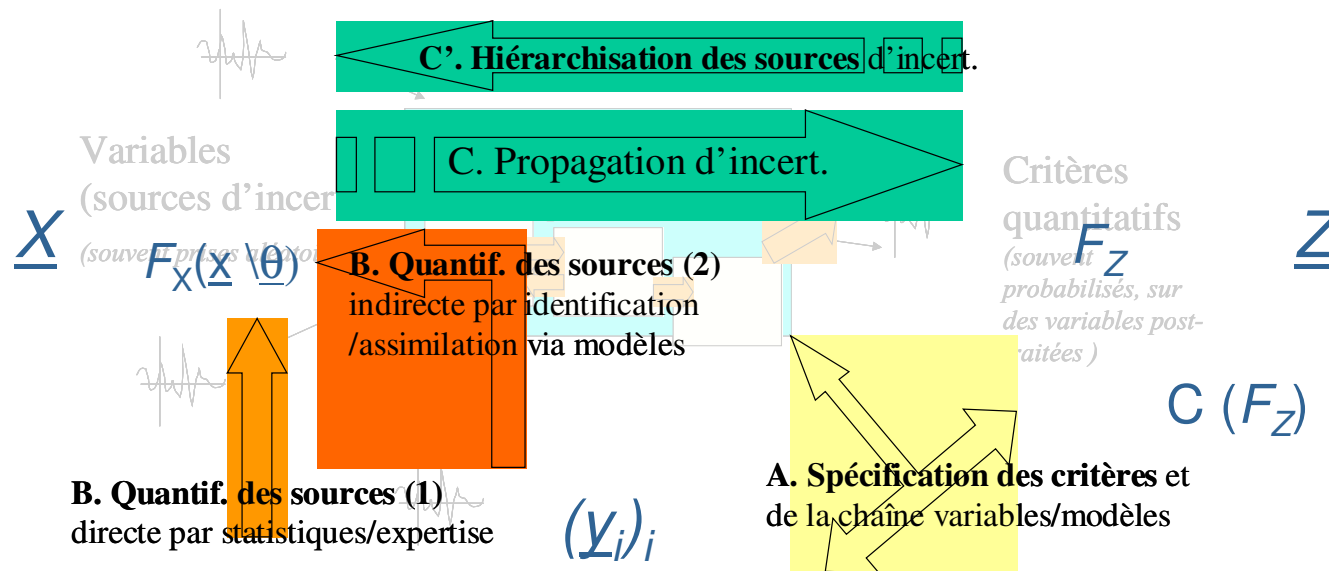


Partie déterministe : G et H sont calculés par le(s) modèle(s) physique(s) déterministe (pour \underline{x} donné et \underline{d} conditions connues)

Partie probabiliste :

$\underline{x} \gg \underline{X} \sim F_{\underline{X}}(\underline{x} | \theta)$ et un critère porte sur $F_{\underline{Z}}(\underline{z})$

Les grandes étapes d'une étude d'incertitudes (2)

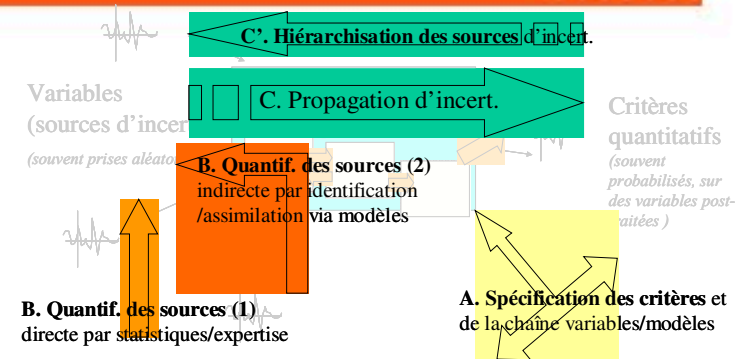


- ↪ Deux finalités les plus fréquentes :
 - ↪ **Justification** d'un critère (l'étape C est l'étape finale)
 - ↪ **Hiérarchisation** des sources i.e. analyse de sensibilité (l'étape C' est l'étape finale)
- ↪ Egalement la **validation** (l'étape B' est finale) et l'**optimisation** (plusieurs étapes C itératives)

Où interviennent les PE / SR ?

En simulation

- Pour la justification, en phase C
 - Accélérer la propagation ... *surtout si* $C_Z = P(Z > z_s)$
 - Typiquement PE/SR puis Monte-Carlo ou PE/SR dans Form
- Pour la « hiérarchisation » (i.e. analyse de sensibilité) en phases C/C'
 - PE déterministe ou aléatoire
 - Mesures d'importance de type déterministe ou probabiliste plus ou moins complexes (Coef. de Corrélacion, PRCC, Sobol ...)
- Plus récemment: la validation / (méthodes inverses) et optimisation stochastique

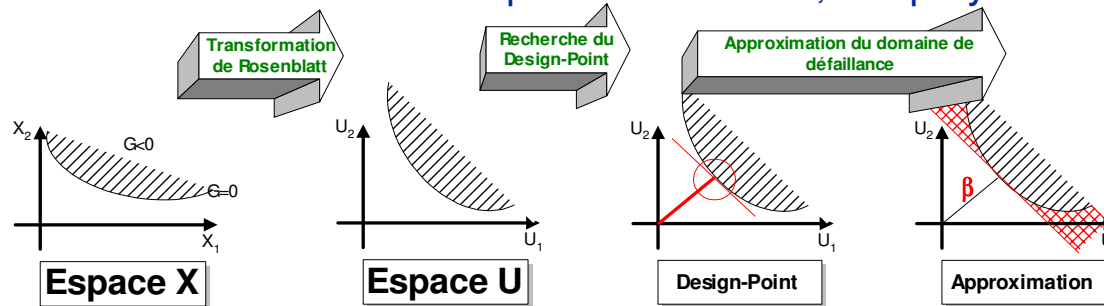


Et également dans l'expérimental: (micro-biologique, matériaux ...)

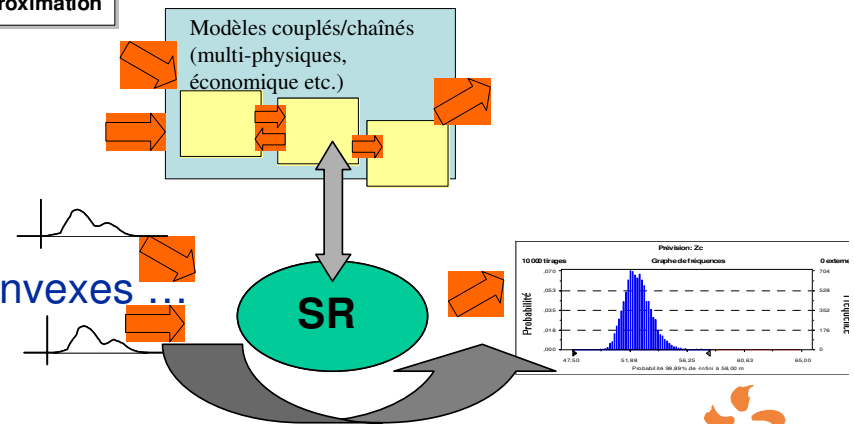
Principaux PE/SR utilisés en propagation

- Élémentaire dans le cumul quadratique
- Traditionnellement : accélérer l'estimation de $C_Z = P(Z > z_s)$
 - PE/SR adaptatif « naturel » dans Form/Sorm
 - dans l'espace transformé, SR polynômiale locale

$$Inc_Z \approx \sqrt{\sum_{i=1}^N \left(\frac{\partial Z}{\partial X^i} \right)^2} Inc_{X^i}^2$$



- PE/SR global avant Monte-Carlo
 - dans l'espace physique
 - Globale
 - polynômial, spline, interpolants convexes ...



Plus récemment, les surfaces de réponse stochastiques

Des exigences spécifiques récentes et questions de R&D

- De nombreux travaux de recherche appliquée continuent à EDF en sensibilités/incertitudes
- On exposera seulement deux points spécifiques

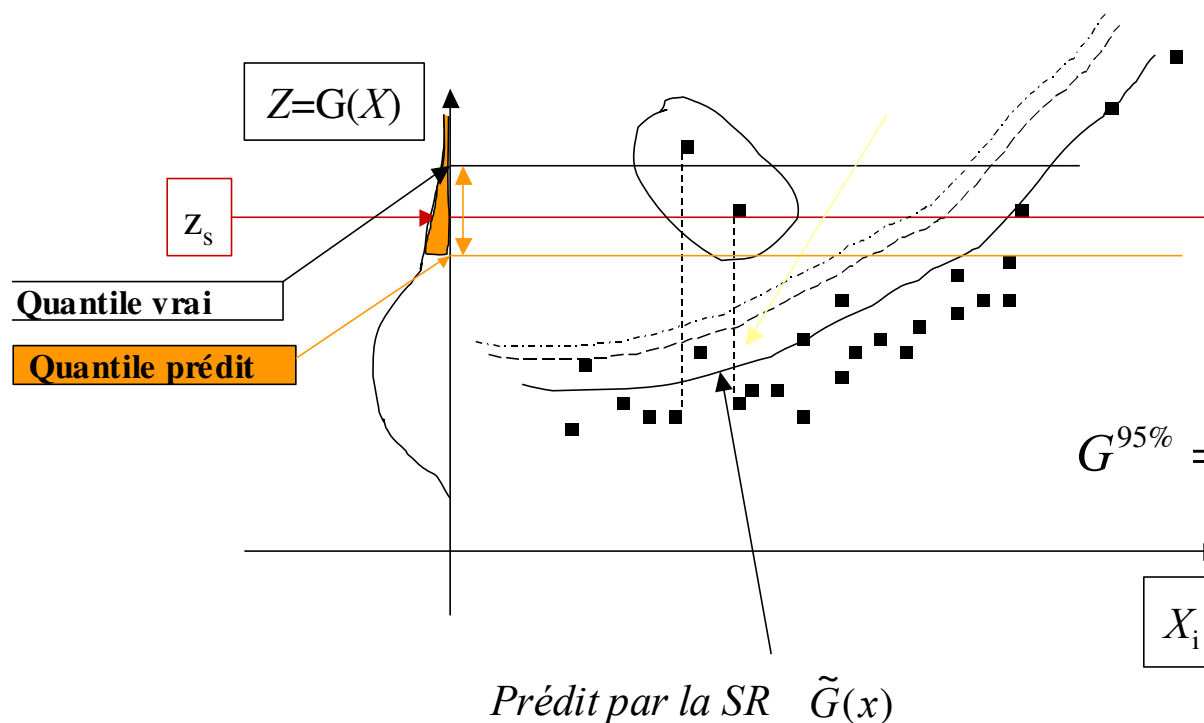
Des exigences spécifiques récentes

1. Robustesse des PE/SR en justification de sûreté

Justification de sûreté : estimer $C_Z = P(Z > z_s)$ de façon très robuste ... par SR ?

$$G(x) = \tilde{G}(x) + u(x) = \sum_l \tilde{G}^l(x) \cdot \beta^l + u$$

Estimation $\hat{\beta}^l$ aux OMS / GLM



$$G^{95\%} = F_Z^{-1}(.95) < ? > [\tilde{G}(x) + u(x)]^{95\%}$$

1. Robustesse des PE/SR en justification de sûreté (suite)

Justification de sûreté : estimer $C_Z = P(Z > z_s)$ de façon très robuste ... la méthode de référence : Monte-Carlo Wilks

- C'est-à-dire Monte-Carlo classique, mais à nb minimal de tirages
- En estimant l'intervalle de confiance β (non-paramétrique) sur l'estimateur du quantile α)

$$\text{si } N \geq N_i(\alpha, \beta), \quad P(z^\alpha < Z^{n-i+1}) > \beta$$

$$P(Z^{n-i+1} < z) = \sum_{k=n-i+1}^n C_n^k F(z)^k (1-F(z))^{n-k}$$

		Minimum number of trials using the i-th max. of a n-sample			
α (quantile)	β (level of confidence)	Maximum $N_1(\alpha, \beta)$	2 nd max. $N_2(\alpha, \beta)$	3 rd max. $N_3(\alpha, \beta)$	4 th max. $N_4(\alpha, \beta)$
95%	90%	45	77	105	132
95%	95%	59	93	124	153
95%	99%	90	130	165	198

- Wilks conduit à contrôler de façon probabiliste sûre l'erreur d'estimation du quantile dans l'étape C (i.e. erreur de propagation)

1. Robustesse des PE/SR en justification de sûreté (suite)

Contrôler l'erreur d'estimation de $C_Z = P(Z > z_s)$ avec la SR ?

- On peut imaginer calculer « un I.C. du quantile du prédit »

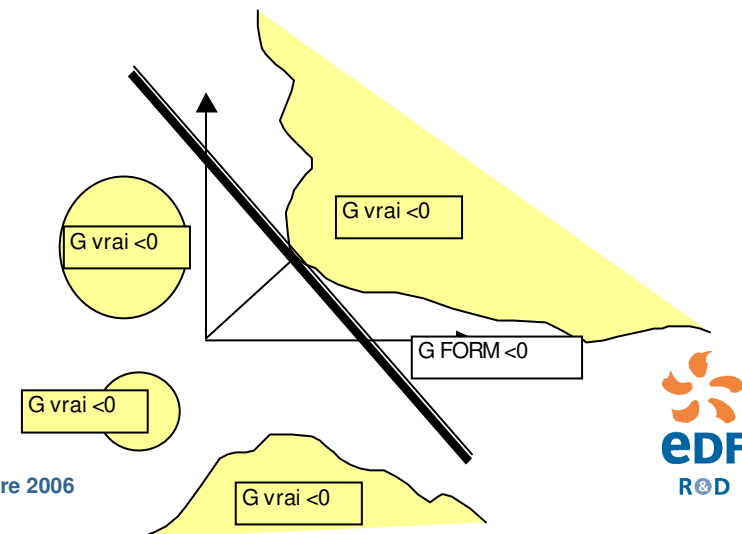
$$\text{var}[\tilde{G}(x) + u] \approx \hat{\sigma}^2(1 + \tilde{G}(x)'(\nabla \underline{\underline{\tilde{G}}} \nabla \underline{\underline{\tilde{G}}})^{-1} \tilde{G}(x))$$

$$\tilde{G}(x)_\alpha^\beta \approx [\tilde{G}(x) + \phi^{-1}(\beta)\sqrt{\text{var } \text{prédit}(x)}]_\alpha$$

- Mais, en SR traditionnelle

- ... hypothèse de résidu gaussien non argumentée
- ... meilleure stat. de $u \gg$ beaucoup de simulations nécessaires

*N.B. Form/Sorm (avec PE/SR adaptatif)
est une approx. peu contrôlable ...*



Premières pistes pour réduire la variance

Premières pistes pour réduire la variance de l'estimateur en combinant Wilks et une SR

- › Réduction par formulation asymptotique sous indépendance (« réduction indépendante »)
- › Addition de quantile sous inégalité forte

Utilisation d'une SR

On utilise typiquement une surface de réponse ...
d'abord polynomiale d'ordre faible par régression
(mais on pourrait changer) :

$$\begin{aligned} Y=G(X) &= Y_{SR} * \beta + \varepsilon_{SR} \\ &= G_{SR}(X) * \beta + \varepsilon_{SR} \end{aligned}$$

pour prédire un quantile de Y ...en manipulant
l'« addition de quantiles » de $G_{SR}(X)$ et ε_{SR}

Formule asymptotique d'addition de quantiles sous hypothèses d'indépendance

On montre que :

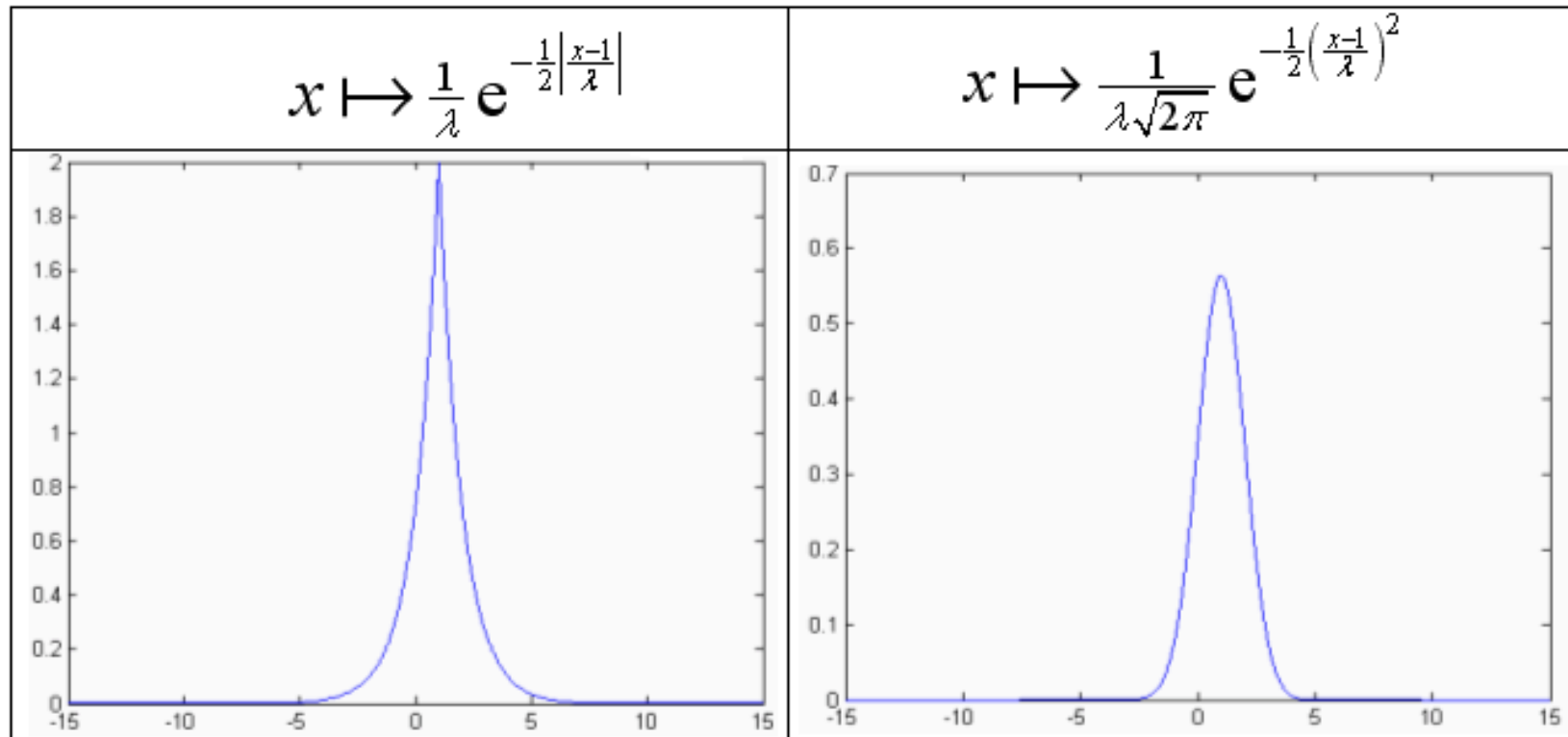
$$\mathbb{P}(U + \sigma V \leq q) = \sum_{k=0}^p \frac{(-1)^k \mathbb{E}(V^k) F_U^{(k)}(q)}{k!} \sigma^k \underset{\sigma \rightarrow 0}{\sim} \frac{(-1)^{p+1} \mathbb{E}(V^{p+1}) F_U^{(p+1)}(q)}{(p+1)!} \sigma^{p+1}$$

Pour avoir le quantile, on inverse la formule et on obtient :

$$F_{U+\sigma V}^{-1}(\alpha) \underset{\sigma \rightarrow 0}{=} F_U^{-1}(\alpha) - \mathbb{E}(V) \sigma + \left(\frac{1}{2} \mathbb{E}(V^2) - (\mathbb{E}(V))^2 \right) \frac{F_U'' \circ F_U^{-1}(\alpha)}{F_U' \circ F_U^{-1}(\alpha)} \sigma^2 + o(\sigma^2)$$

> U sera la SR et V le résidu (réduit) ...

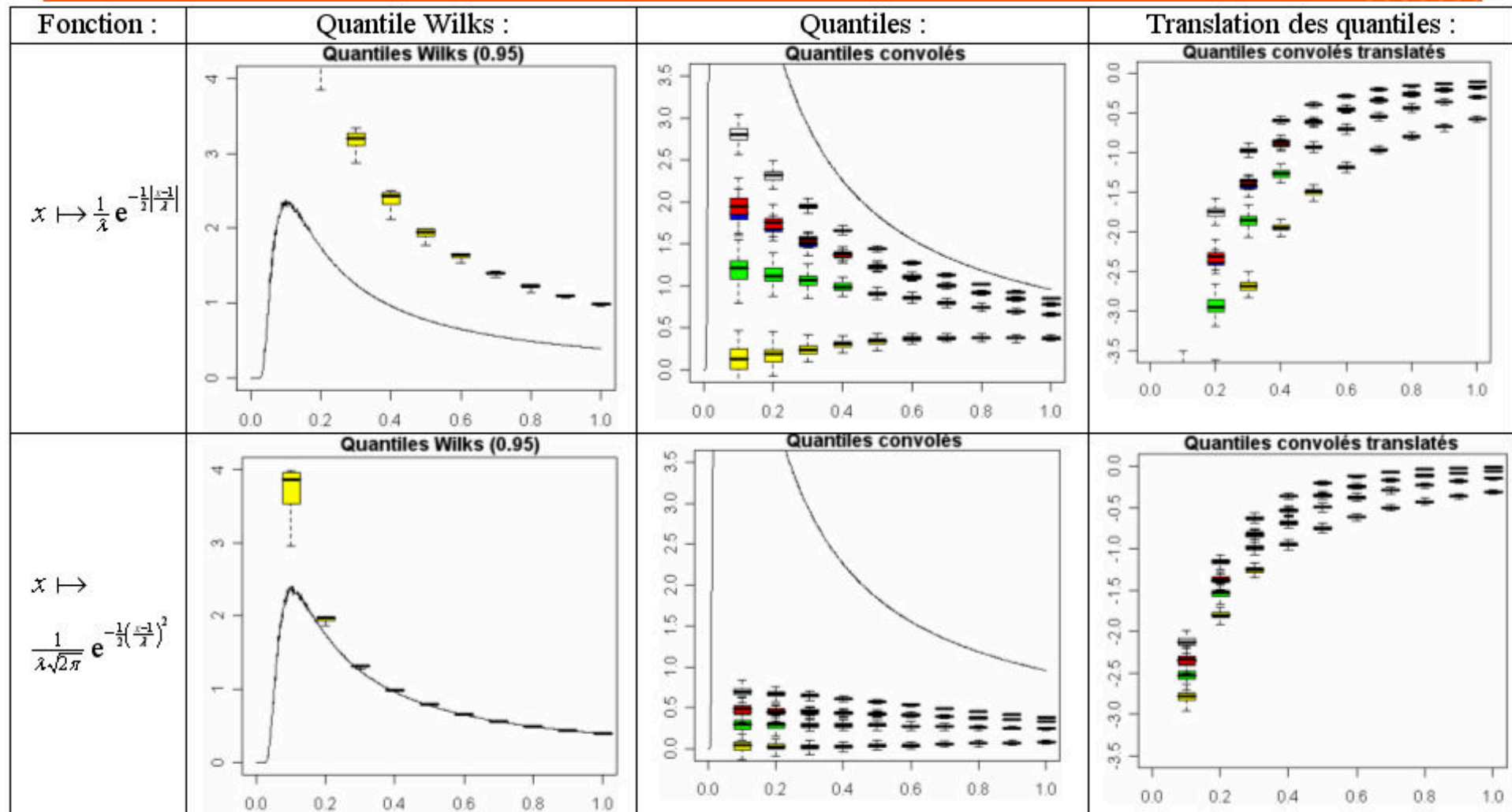
Tests numériques sur des modèles 1D physiquement « irréguliers » ...



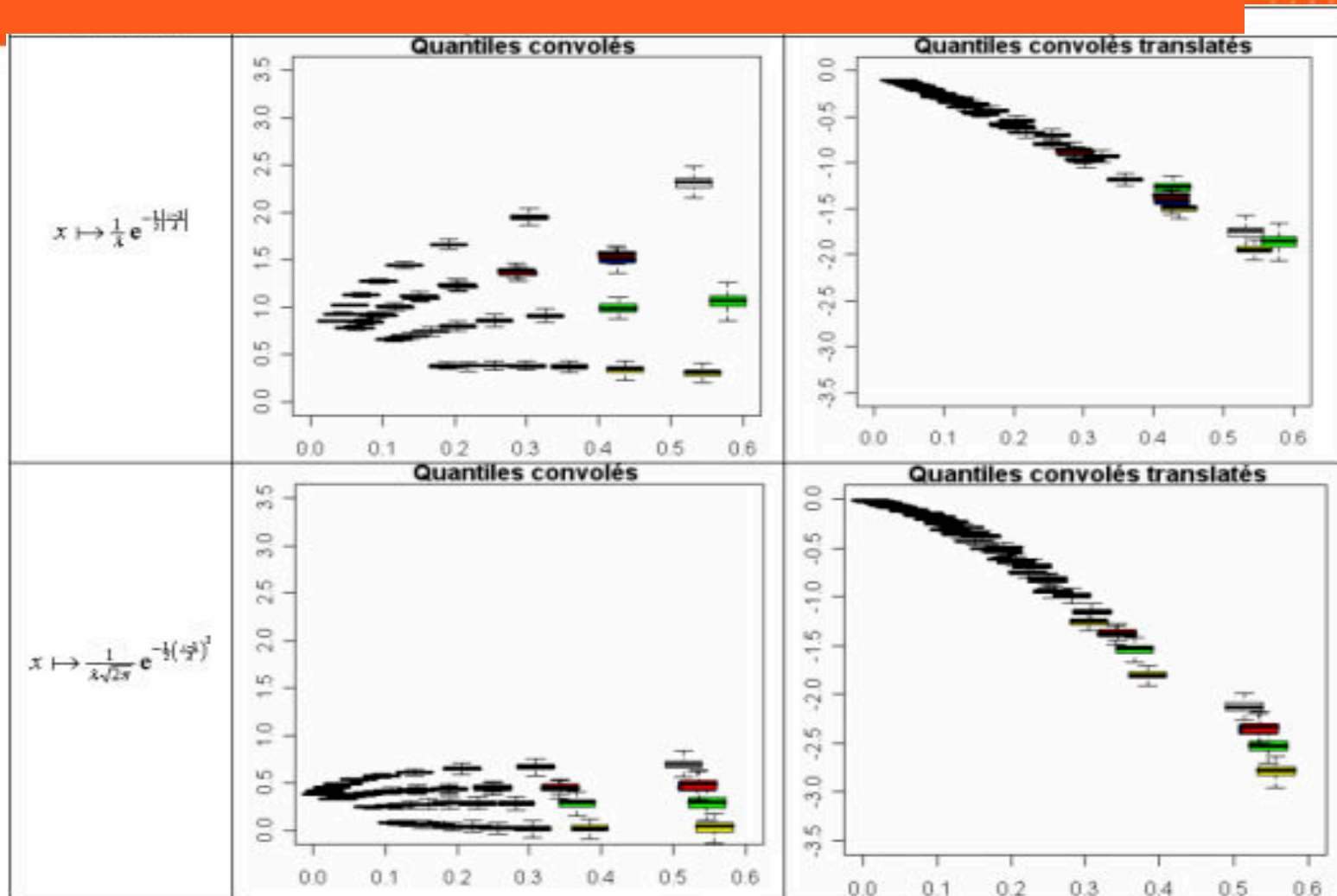
La variable aléatoire d'entrée X est une gaussienne centrée réduite.

Le paramètre λ des fonctions caractérise leur aplatissement / leur pic.

Résultats, selon λ en comparaison à Wilks



Résultats, selon σ



Conclusion provisoire sur 1ère formule asymptotique

- Cette méthode n'est plus conservative
- ... la correction résiduelle – par formule asymptotique - ne « rattrape » pas l'erreur de SR en quantile
- ... et l'hypothèse d'indépendance SR / résidu est peut-être également en cause

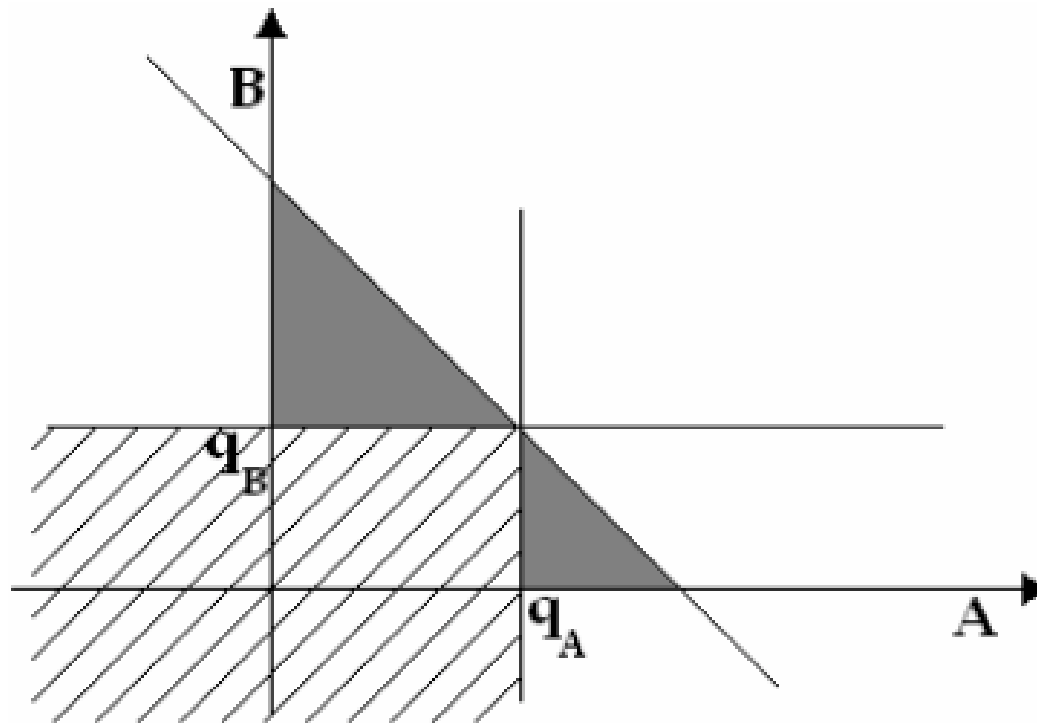
Deuxième piste : quantile par SR, mais avec une inégalité conservative

On utilise encore une variable de contrôle de type surface de réponse polynomiale calculée par régression linéaire :

$$\begin{aligned} Y=G(X) &= Y_{SR} * \beta + \varepsilon_{SR} \\ &= G_{SR}(X) * \beta + \varepsilon_{SR} \end{aligned}$$

Mais l'indépendance (entre $G_{SR}(X)$ et ε_{SR}) n'est pas ici le facteur primordial.

Une inégalité élémentaire ... mais certaine, sur l'addition de quantiles ...



$$\{A \leq q_A\} \cap \{B \leq q_B\} \subset \{A + B \leq q_A + q_B\}$$

Inégalités probabilistes (1)

En prenant la probabilité de cette inclusion ensembliste, on a alors :

$$\begin{aligned}\mathbb{P}\left(A + B \leq q_\alpha(A) + q_\beta(B)\right) &= F_{A+B}\left(q_\alpha(A) + q_\beta(B)\right) \\ &\geq \mathbb{P}\left(\{A \leq q_\alpha(A)\} \cap \{B \leq q_\beta(B)\}\right)\end{aligned}$$

... que l'on peut interpréter en « copule »

$$\begin{aligned}\forall (u, v) \in [0, 1]^2 \quad C_{(A, B)}(u, v) &= \mathbb{P}\left(\{A \leq q_u(A)\} \cap \{B \leq q_v(B)\}\right) \\ &= \mathbb{P}\left(A \leq q_u(A), B \leq q_v(B)\right) \\ &= F_{(A, B)}\left(F_A^{-1}(u), F_B^{-1}(v)\right).\end{aligned}$$

Inégalités probabilistes (2)

La fonction $C_{(A, B)}$ étant la fonction de copule du couple (A, B)

Elle vérifie les inégalités fondamentales :

$$C_{(A, B)}(\alpha, \beta) \in [\alpha + \beta - 1, \min(\alpha, \beta)]$$

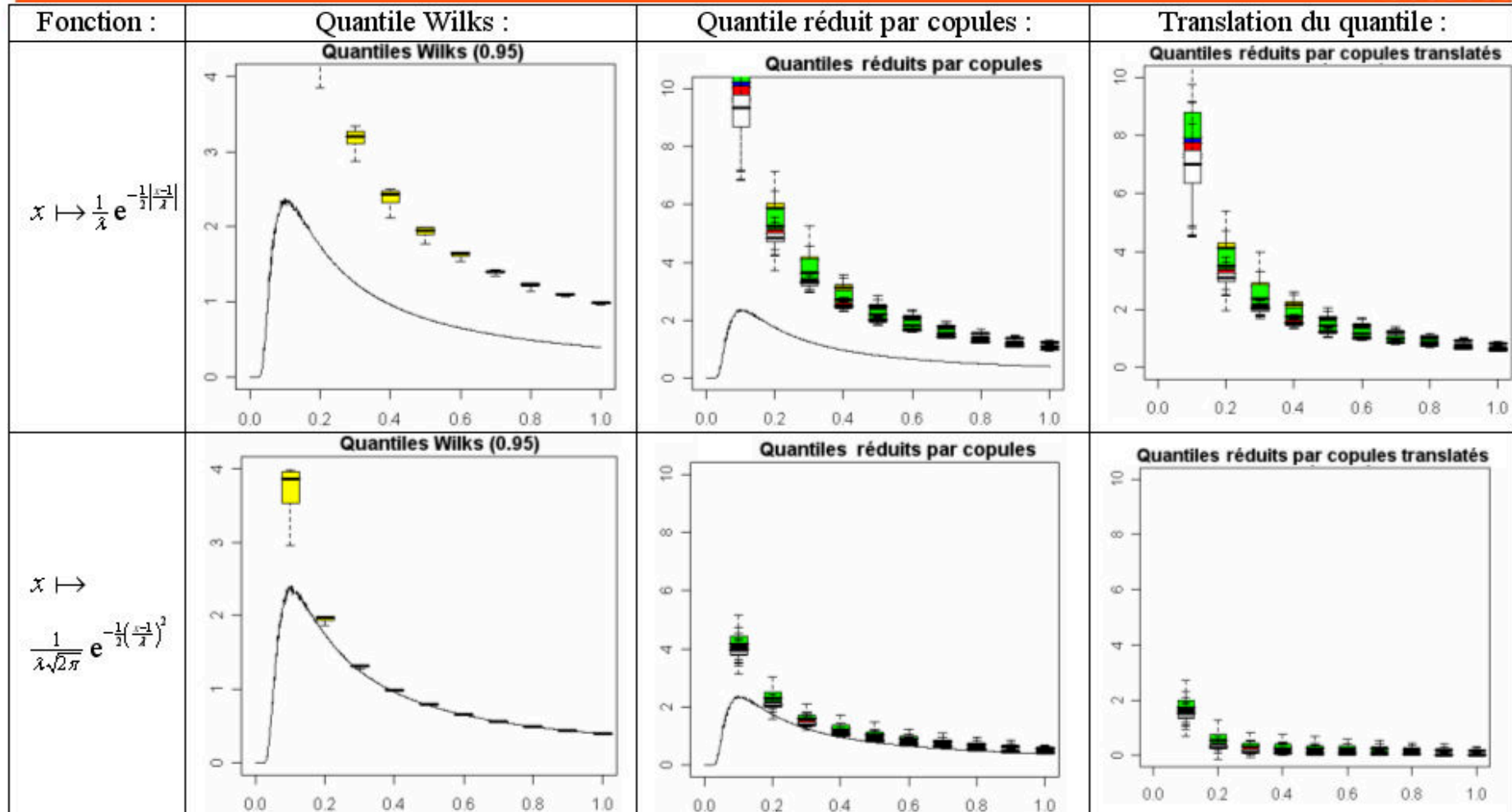
Inégalités probabilistes (3)

$$\begin{aligned}q_{\alpha}(A) + q_{\beta}(B) &\geq q_{C(\alpha, \beta)}(A + B) \geq q_{\alpha + \beta - 1}(A + B) \\q_{\alpha}(Y) = q_{\alpha}(Y_{SR} + \sigma \varepsilon_{SR}) &\leq q_{\delta}(Y_{SR}) + q_{1 + \alpha - \delta}(\sigma \varepsilon_{SR}) \\&\leq q_{\delta}(Y_{SR}) + \sigma q_{1 + \alpha - \delta}(\varepsilon_{SR})\end{aligned}$$

$$\widehat{Y^{\alpha}} = \overbrace{(Y_{SR})^{\delta}}^{(MC)} + \overbrace{(\sigma \varepsilon_{SR})^{1 + \alpha - \delta}}^{(Wilks, \beta)}$$

On teste alors l'estimateur sur les fonctions précédentes.

Résultats, selon λ en comparaison à Wilks



Conclusion provisoire sur 2ème piste / inégalité conservative

- Cette méthode est trop conservative ...
- Mieux l'estimer suppose par exemple de bien estimer la copule entre la SR et son résidu ... ce qui coûte cher pour être aussi robuste que Wilks ... vu qu'aucune famille de copule n'a de raison *a priori* d'être « la bonne » ...

Approfondissements ...

- Mieux gérer la variable de contrôle ... (cf. exposé Cemracs)
- Exploiter les considérations physiques ...

Robustesse des PE/SR en justification de sûreté (suite)

Des idées à creuser : valoriser connaissances physiques sur G (et donc $\tilde{G}(x)$ et u) ...

- Un premier exemple : monotonie partielle et approximation de l'une des sous-briques du modèle physique couplé



- Au-delà : modèle physico-stat. sur le résidu (a priori sur zones non régulières etc.) & choix physique des fonctions de base de la SR ... et optimisation des PE



NB : les SR n'ont plus à être régulières ... un modèle physique simple peut être bien meilleur qu'une autre approx. Fonctionnelle (RN ...) ... les A, D, ...-optimalités des PE encore pertinentes ?

Un cas physique où la monotonie partielle rend une SR constante par morceaux conservative

